

화상의 블록 평균값으로부터 교류성분을 예측하는 연산 알고리즘

도재수*, 장익현**

*동국대학교 컴퓨터학과

**동국대학교 정보통신학과

e-mail:dojesu@dongguk.ac.kr

A Computation Algorithm for Predicting AC Components of Images Using Mean Values of Blocks

Jae-Su Do*, Ik-Hyun Jang**

*Dept of Computer Science, Dongguk University

**Dept of Information and Communication Engineering,
Dongguk University

요약

본 논문에서는 화상을 정방블록으로 분할하여, 블록의 휘도 평균값으로부터 교류성분을 예측하는 정수 연산 알고리즘을 검토한다. 본 방식은 정수의 가감산과 비트 쉬프트 조작만으로 실현되고, 종래 방식과 비교하여 예측성능의 열화 없이 계산단가를 대폭으로 저감시킬 수 있다.

1. 서론

화상 부호화의 방법으로서 다양하게 검토되고 있는 이산코사인변화(DCT), 벡터 양자화, LIFS 부호화법 등은 화상을 정방 블록으로 분할하여 부호화 처리를 하는 블록 부호화법에 근거를 두고 있다. 이 경우, 블록의 휘도값은 그 근방에 있는 블록의 직류성분(평균치)과 높은 상관을 갖고 있어, 직류 성분만으로 교류성분을 어느 정도 예측할 수 있다.

그러므로, 평균치 분리형의 부호화 방식에 있어서는, 직류 성분에 의한 예측의 잔차를 부호화하는 것으로, 부호화 효율을 효과적으로 개선할 수 있다.

이와 같은 교류성분 예측법으로는 근방 블록의 직류 성분으로부터 대상 블록내의 휘도를 직접 보간하는 방식[1],[2]과 DCT의 교류계수를 근사하는 방식[3], 블록을 2×2 의 서브 블록으로 분할하여 그 휘도를 선형 보간하는 조작을 단계적으로 행하여, 최종적으로 화소 단위의 보간값을 구하는 방식[4] 등이 제안되어 있다. 이러한 방식에서는 모두 보간 계산에 실효값의 승제산을 포함한 복잡한 연산을 필요

로 하기 때문에, 계산 단가의 관점으로부터 보다 단순한 계산 알고리즘의 구성이 요구된다. 그리하여, 본 논문에서는 와따나베 등의 단계적 교류성분 예측 방식[4]에 주목하여, 이것을 근거로 한, 정수가감산과 비트 쉬프트만으로 실현 가능한 고속 교류성분 예측 방식을 검토하였다.

2. 알고리즘

2.1 단계적 교류성분 예측법

단계적 교류성분 예측법[4]에서는, 다음과 같은 순서로 처리를 수행한다.

- (1) 각 블록을 그림1에 보이는 것과 같은 2×2 개의 서브 블록으로 분할한다.
- (2) 근방 블록의 직류성분으로부터, 4개의 서브 블록의 직류성분을 선형 보간에 의하여 구한다.
- (3) 서브 블록을 새로운 블록으로 하여, 분할이 화소 단위로 될 때까지 위에서 기술한 처리를 반복한

다.

대상 블록을 S 라 하고, 그 근방블록을 그림1과 같이 표기한다. 와따나베[4]는 8근방의 블록을 고려한 알고리즘을 검토하고 있지만, 본 논문에서는 간단화를 위하여 4근방으로 한다. 기호 S, U, B, R, L 이 각 블록의 직류성분을 나타내는 것으로 하면, 서브 블록의 직류 성분 보간값 $V_{UR}, V_{UL}, V_{BR}, V_{BL}$ 은, 각각의 최근방의 3개의 블록의 직류성분으로부터 선형 보간에 의하여

$$\begin{aligned} V_{UR} &= \alpha(\omega_1 S + \omega_2 U + \omega_2 R) \\ V_{UL} &= \alpha(\omega_1 S + \omega_2 U + \omega_2 L) \\ V_{BR} &= \alpha(\omega_1 S + \omega_2 B + \omega_2 R) \\ V_{BL} &= \alpha(\omega_1 S + \omega_2 B + \omega_2 L) \end{aligned} \quad (1)$$

으로 산출된다, 단, ω_1, ω_2 는 블록의 값의 무게를 실기 위한 중량 계수이다. α 는 분할 후에도 대상 블록 내에서 평균 직류성분이 보존되도록 보간값을 수정하기 위한 계수로,

$$V_{UR} + V_{BR} + V_{UL} + V_{BL} = 4S \quad (2)$$

부터,

$$\alpha = \frac{2S}{2\omega_1 S + \omega_2(U+B+R+L)} \quad (3)$$

로 얻어진다. 중량계수 ω_1, ω_2 는 블록중심간의 거리 등을 고려하여 선택한다. 여기서, ω_1/ω_2 가 단순한 유리비로 되도록 계수를 선택하면, 식(1) 및 식(3)의 보간값 계산은 정수의 승제산 및 가감산으로 실현되는 것에 주의한다.

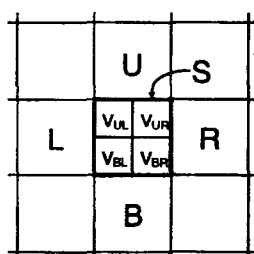


그림 1. 서브블록 분할

2.2 정수 가감산형 알고리즘

위에서 논한 방식으로부터, 승제산을 포함하지 않는 보다 간단한 계산알고리즘을 도출한다. 식(1) 및 식(3)을 변형하면,

$$\begin{aligned} V_{UR} &= S + \beta(U + R - B - L) \\ V_{UL} &= S + \beta(U + L - B - R) \\ V_{BR} &= S + \beta(B + R - U - L) \\ V_{BL} &= S + \beta(B + L - U - R) \end{aligned} \quad (4)$$

단,

$$\beta = \frac{\omega_2 S}{2\omega_1 S + \omega_2(U+B+R+L)} \quad (5)$$

로 고쳐 쓸 수가 있다. 그러나, 식(4)는 임의의 β 에 대하여 식(2)의 조건을 만족하기 때문에, β 는 식(5)에 한정되지 않고 자유로이 선택할 수 있다. 그리하여, 식(5)를 적당한 정수로 근사하는 것을 생각한다. 화상의 화소치의 변화가 거의 없어, 근방 블록의 직류성분의 평균이 S 에 가까운 값을 취한다고 가정하면,

$$U + B + R + L \approx 4S \quad (6)$$

로 놓을 수 있다. 이 때, 식(5)는

$$\beta = \frac{\omega_2 S}{2\omega_1 S + 4\omega_2 S} = \frac{1}{2(\omega_1/\omega_2) + 4} \quad (7)$$

로 근사된다. 여기서, 적당한 양의 정수 n 에 대하여 $\beta = 2^{-n}$ 이 성립하도록 ω_1/ω_2 를 선택하면, 식(4)의 보간치 계산을 모두 정수의 가감산과 비트 쉬프트 조작만으로 실현하는 것이 가능하게 된다. 예를 들면, $\omega_1/\omega_2 = 2$ 로 두면 $\beta = 1/8$ 로 되어, β 의 승산은 3비트 쉬프트로 대체된다. 이상으로부터, 고속으로 연산 가능한 단계적 교류성분 예측 알고리즘이 얻어진다.

식(6)의 근사에 타당성을 보이기 위하여, 실제의 화상 데이터를 이용하여

$$\xi = \frac{U+B+R+L}{S} \quad (8)$$

의 분포를 조사한다.

실제 대상으로는 SIDBA의 표준화상 Girl(256×256 화소) 및 화상 Lena(512×512 화소)를 이용한다. 각각 4×4 및 8×8 화소의 블록으로 분할하여, 그것들의 직류성분으로부터 δ 를 계산한다. 구하여진 δ 의 히스토그램을 그림2에 보인다.

어느 쪽의 화상에 있어서도 ፬는 4부근에 예리한 피크를 갖는 분포를 이루고 있어, 식(6)의 근사는 타당한 것이라 생각된다.

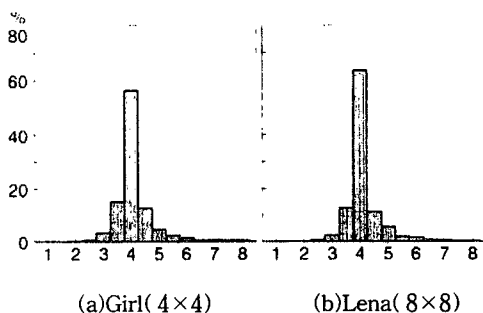


그림 2. δ 의 빈도분포

3. 평가

3.1 교류성분 예측성능

위에서 논한 정수연산에 의한 교류성분 예측방식의 성능을 평가하기 위하여, 화상 데이터를 이용하여 실험을 행하여, 종래 방식과 화질을 비교한다. 비교 대상을 다음의 3방식으로 하였다.

가토 : 근방 블록의 값으로부터 2차 곡면을 계산하여 보간값을 계산하는 방식[1]

미즈하라·이토 : 근방 블록의 값으로부터 휘도값을
선형 보간에 의하여 구하는 방식[2][5]

와따나베·오제키 : 서브 블록성분에 의하여 보간값
를 단계적으로 계산하는 방식[4]

가토 및 미즈하라의 방식은 한 단계의 처리로 불록
내의 휘도값을 보간하는 것이다. 와따나베 등의 방
식은 본 논문에서 검토한 알고리즘의 근본이 되는
것이지만, 8근방의 불록을 이용한 점 및 중량계수를
실수값으로 한 점이 2.1에서 논한 알고리즘과 다른

다.

또, 미즈하라 및 와따나베 등의 방식에 대하여는, 화상의 경계부위 주변에 생기는 오버슈트를 저감하기 위한 부가 처리가 검토[4],[5]되고 있으나, 본 논문에서는 고려하지 않았다.

한편, 정수연산만의 알고리즘에 대하여는 다음의 조건으로 실현을 행한다.

정수 승제산형 : 식(1)과 식(3)을 이용하는 알고리즘.
단, $\omega_1 : \omega_2 = 1 : 1$ 및 $2 : 1$ 로 한다.

정수 가감산형 : 식(4)를 이용한 알고리즘.
단. $\beta = 1/8$ 로 한다

실제로는 SIDBA화상 Girl 및 화상 Lena를 이용하여, 블록 사이즈는 각각 4×4 및 8×8 화소로 한다. 화질의 평가 기준으로는, 다음의 식으로 계산되는 SNR을 이용한다.

$$SNR = 20 \log_{10} \frac{255}{\sqrt{\epsilon_2}} [\text{ dB}] \quad (9)$$

단, ϵ^2 는 화소당 평균2승 오차를 나타낸다. 실험의 결과를 표1에 보인다. 정수연산에 한정한 알고리즘에서도 종래 방식과 비교하여 손색없는 예측성능이 얻어지는 것을 알 수 있다.

$\beta = 1/8$ 로 한 정수가감산형 알고리즘은
 $\omega_1 : \omega_2 = 2 : 1$ 의 정수 승제산형에 대응하지만, 식
(6)의 근사에 의한 성능의 열화는 거의 볼 수 없고,
각각산형의 알고리즘의 유효성이 확인된다.

표 1 교류성분 예측성능의 비교

	SNR[dB]	
	Girl(4×4)	Lena(8×8)
예측 없음(DC)	26.18	23.64
가토	28.13	25.23
미즈하라·이토	28.29	25.31
와따나베·오제키	28.26	25.22
정수승 제산형(1 : 1)	28.33	25.30
정수승 제산형(2 : 1)	28.20	25.26
정수승 각사형	28.19	25.28

3.2 연산회수

電氣電子通信學會論文誌(B), vol.J71-B, no.12,
pp.1528-1536, Dec.1988.

다음으로, 계산 단가를 평가하기 위하여, 1화소의 보간값 계산에 필요한 사칙연산의 회수를 산출하였다. 비교 대상은 종래 방식에서 가장 간단한 미즈하라 등의 방식[5]으로 한다. 각 알고리즘의 연산회수를 표2에 나타낸다.

실수연산이 필요한 미즈하라 등의 방식과 비교하여, 정수 가감산형의 알고리즘에서는 보다 적은 회수의 정수 가감산과 비트 쉬프트로 계산이 가능하여, 계산 단가를 대폭으로 저감할 수가 있다.

표 2. 1화소당의 사칙연산회수

	Real		Integer		Bit Shift
	M/D	A/S	M/D	A/S	
미즈하라·이토	2.19	4	0	0	0
정수 제승산형	0	0	3.13	3,13	0.63
정수 가감산형	0	0	0	0	0.63

4. 결론

블록의 직류성분으로부터 교류성분을 예측하는 고속연산 알고리즘을 검토하였다. 본 논문에 제안한 정수 가감산형의 알고리즘은, 실수의 승제산을 필요로 하는 종래의 방식과 비교하여, 예측 성능의 열화 없이 계산 단가를 대폭으로 저감할 수 있다. 따라서, 계산량의 제약이 엄격한 경우에도 적용 가능하여, 하드웨어화에도 유리하다고 생각된다.

참고문헌

- [1] 加藤洋一, “平均値分離形ブロック符号化方式の符号化効率改善,”1987年 信學總全大, 1158.
- [2] 水原良彦, 伊東 晋, 宇都宮敏男, “隣接 ブロック の平均値を用いた最適線形補間法とそのブロック符号化への應用,” 信學技報, CS87-120, Dec.1987.
- [3] 井澤裕司, 木村淳一, 澤澤正明, “静止画像の階層的符号化における画質改善の一検討,” 画像符号化シンポジウム(PCSJ87), pp.47-48, Sept. 1987.
- [4] 渡邊敏明, 大關和夫, “平均値を用いた交流成分豫測方式の一検討,” 画像符号化シンポジウム(PCSJ89), pp.29-30, Oct. 1989.
- [5] 伊東 晋, 水原良彦, 鶴田光一, 山口 昇, 宇都宮敏男, “画像の階調数選擇形ブロック符号化方式,” 日本